

Fonctions L et courses de nombres premiers

Alexandre Bailleul

Séminaire Lambda

12 mars 2020

- 1 Progressions arithmétiques
 - Le théorème de Dirichlet
 - Le théorème des nombres premiers en progression arithmétique
- 2 Courses de nombres premiers
 - Le biais de Tchebychev
 - Résultats fondateurs
- 3 Courses dans les corps de nombres
 - Préliminaires sur les corps de nombres
 - Automorphismes de Frobenius et fonctions L d'Artin
 - Courses dans les corps de nombres

- Titre pompeux : **Harmonie et disparités dans la répartition des nombres premiers.**

- Titre pompeux : **Harmonie et disparités dans la répartition des nombres premiers.**
- Harmonie : Équirépartition uniforme des nombres premiers dans certains ensembles naturels.

- Titre pompeux : **Harmonie et disparités dans la répartition des nombres premiers.**
- Harmonie : Équirépartition uniforme des nombres premiers dans certains ensembles naturels.
- Disparités : Équirépartition à des vitesses différentes.

- 1 Progressions arithmétiques
 - Le théorème de Dirichlet
 - Le théorème des nombres premiers en progression arithmétique
- 2 Courses de nombres premiers
- 3 Courses dans les corps de nombres

Le théorème de la progression arithmétique

Théorème (Dirichlet, 1837).

Soit $q \geq 1$ entier et $a \in \mathbb{Z}$ premier avec q . Alors il existe une infinité de nombres premiers de la forme $p = a + qn$, $n \in \mathbb{Z}$.

Le théorème de la progression arithmétique

Théorème (Dirichlet, 1837).

Soit $q \geq 1$ entier et $a \in \mathbb{Z}$ premier avec q . Alors il existe une infinité de nombres premiers de la forme $p = a + qn, n \in \mathbb{Z}$.

- À la main, on peut montrer l'existence d'une infinité de nombres premiers de la forme $4n + 1$ ou $4n + 3$ par exemple

Le théorème de la progression arithmétique

Théorème (Dirichlet, 1837).

Soit $q \geq 1$ entier et $a \in \mathbb{Z}$ premier avec q . Alors il existe une infinité de nombres premiers de la forme $p = a + qn, n \in \mathbb{Z}$.

- À la main, on peut montrer l'existence d'une infinité de nombres premiers de la forme $4n + 1$ ou $4n + 3$ par exemple, mais ce n'est pas clair pour $1000n + 379$!

Outils

Définition.

Soit $q \geq 1$ entier. Un caractère de Dirichlet modulo q est un morphisme de groupes

$$\chi : (\mathbb{Z}/q\mathbb{Z})^\times \longrightarrow \mathbb{C}^\times.$$

On prolonge un tel caractère à $\mathbb{Z}/q\mathbb{Z}$ par 0, puis à \mathbb{Z} par q -périodicité.

Outils

Définition.

Soit $q \geq 1$ entier. Un caractère de Dirichlet modulo q est un morphisme de groupes

$$\chi : (\mathbb{Z}/q\mathbb{Z})^\times \longrightarrow \mathbb{C}^\times.$$

On prolonge un tel caractère à $\mathbb{Z}/q\mathbb{Z}$ par 0, puis à \mathbb{Z} par q -périodicité.

Caractères de Dirichlet

Exemples :

i) Le caractère trivial χ_0 vérifie

$$\chi_0(n) = \begin{cases} 1 & \text{si } n \text{ est premier avec } q \\ 0 & \text{sinon} \end{cases} .$$

Caractères de Dirichlet

Exemples :

i) Le caractère trivial χ_0 vérifie

$$\chi_0(n) = \begin{cases} 1 & \text{si } n \text{ est premier avec } q \\ 0 & \text{sinon} \end{cases} .$$

ii) Le caractère χ modulo 5 défini par

$$\chi(n) = \begin{cases} 1 & \text{si } n \equiv 1 \pmod{5} \\ i & \text{si } n \equiv 3 \pmod{5} \\ -1 & \text{si } n \equiv 4 \pmod{5} \\ -i & \text{si } n \equiv 2 \pmod{5} \\ 0 & \text{sinon} \end{cases} .$$

Caractères de Dirichlet

Exemples :

i) Le caractère trivial χ_0 vérifie

$$\chi_0(n) = \begin{cases} 1 & \text{si } n \text{ est premier avec } q \\ 0 & \text{sinon} \end{cases} .$$

ii) Le caractère χ modulo 5 défini par

$$\chi(n) = \begin{cases} 1 & \text{si } n \equiv 1 \pmod{5} \\ i & \text{si } n \equiv 3 \pmod{5} \\ -1 & \text{si } n \equiv 4 \pmod{5} \\ -i & \text{si } n \equiv 2 \pmod{5} \\ 0 & \text{sinon} \end{cases} .$$

iii) Si p est un nombre premier impair, le symbole de Legendre $\left(\frac{\cdot}{p}\right)$ est un caractère de Dirichlet modulo p .

Caractères de Dirichlet

Proposition (Relations d'orthogonalité).

Soit $q \geq 1$ un entier et $a \in \mathbb{Z}$ premier avec q . Pour tout $k \in \mathbb{Z}$, on a

$$\frac{1}{\varphi(q)} \sum_{\chi \bmod q} \chi(k) \overline{\chi(a)} = \begin{cases} 1 & \text{si } k \equiv a \pmod{q} \\ 0 & \text{sinon} \end{cases} .$$

Caractères de Dirichlet

Proposition (Relations d'orthogonalité).

Soit $q \geq 1$ un entier et $a \in \mathbb{Z}$ premier avec q . Pour tout $k \in \mathbb{Z}$, on a

$$\frac{1}{\varphi(q)} \sum_{\chi \bmod q} \chi(k) \overline{\chi(a)} = \begin{cases} 1 & \text{si } k \equiv a \pmod{q} \\ 0 & \text{sinon} \end{cases} .$$

Caractères de Dirichlet

Proposition (Relations d'orthogonalité).

Soit $q \geq 1$ un entier et $a \in \mathbb{Z}$ premier avec q . Pour tout $k \in \mathbb{Z}$, on a

$$\frac{1}{\varphi(q)} \sum_{\chi \bmod q} \chi(k) \overline{\chi(a)} = \begin{cases} 1 & \text{si } k \equiv a \pmod{q} \\ 0 & \text{sinon} \end{cases} .$$

Les caractères de Dirichlet permettent de détecter analytiquement la condition $k \equiv a \pmod{q}$.

Fonctions L de Dirichlet

Définition.

Soit $q \geq 1$ un entier et χ un caractère de Dirichlet modulo q . La fonction L de Dirichlet associée à χ est

$$L(s, \chi) = \sum_{n=1}^{+\infty} \frac{\chi(n)}{n^s}.$$

Fonctions L de Dirichlet

Définition.

Soit $q \geq 1$ un entier et χ un caractère de Dirichlet modulo q . La fonction L de Dirichlet associée à χ est

$$L(s, \chi) = \sum_{n=1}^{+\infty} \frac{\chi(n)}{n^s}.$$

Proposition (Produit eulérien).

Soit $q \geq 1$ un entier et χ un caractère de Dirichlet modulo q . Pour $\Re(s) > 1$, on a

$$L(s, \chi) = \prod_p \left(1 - \frac{\chi(p)}{p^s} \right)^{-1}.$$

Idées de démonstration

- On peut montrer

$$\frac{1}{\varphi(q)} \sum_{\chi \bmod q} \overline{\chi(a)} \log(L(s, \chi)) = \sum_{p \equiv a \bmod q} \frac{1}{p^s} + O(1) \quad \text{pour } s > 1$$

Idées de démonstration

- On peut montrer

$$\frac{1}{\varphi(q)} \sum_{\chi \bmod q} \overline{\chi(a)} \log(L(s, \chi)) = \sum_{p \equiv a \bmod q} \frac{1}{p^s} + O(1) \quad \text{pour } s > 1$$

- On a facilement $\lim_{s \rightarrow 1^+} L(s, \chi_0) = +\infty$.

Idées de démonstration

- On peut montrer

$$\frac{1}{\varphi(q)} \sum_{\chi \bmod q} \overline{\chi(a)} \log(L(s, \chi)) = \sum_{p \equiv a \bmod q} \frac{1}{p^s} + O(1) \quad \text{pour } s > 1$$

- On a facilement $\lim_{s \rightarrow 1^+} L(s, \chi_0) = +\infty$. Dirichlet montre ensuite que pour $\chi \neq \chi_0$, $L(1, \chi) \neq 0$ (difficile).

Idées de démonstration

- On peut montrer

$$\frac{1}{\varphi(q)} \sum_{\chi \bmod q} \overline{\chi(a)} \log(L(s, \chi)) = \sum_{p \equiv a \bmod q} \frac{1}{p^s} + O(1) \quad \text{pour } s > 1$$

- On a facilement $\lim_{s \rightarrow 1^+} L(s, \chi_0) = +\infty$. Dirichlet montre ensuite que pour $\chi \neq \chi_0$, $L(1, \chi) \neq 0$ (difficile). On obtient la divergence de la série

$$\sum_{p \equiv a \bmod q} \frac{1}{p}$$

et en particulier l'existence d'une infinité de $p \equiv a \bmod q$!

Théorème des nombres premiers en progression arithmétique

Théorème (De la Vallée-Poussin, 1899).

Soit $q \geq 1$ entier et $a \in \mathbb{Z}$ premier avec q . On note

$$\pi(x, q, a) := \#\{p \leq x \mid p \equiv a \pmod{q}\}.$$

Alors

$$\pi(x, q, a) \underset{x \rightarrow +\infty}{\sim} \frac{1}{\varphi(q)} \frac{x}{\log x}.$$

Théorème des nombres premiers en progression arithmétique

Théorème (De la Vallée-Poussin, 1899).

Soit $q \geq 1$ entier et $a \in \mathbb{Z}$ premier avec q . On note

$$\pi(x, q, a) := \#\{p \leq x \mid p \equiv a \pmod{q}\}.$$

Alors

$$\pi(x, q, a) \underset{x \rightarrow +\infty}{\sim} \frac{1}{\varphi(q)} \frac{x}{\log x}.$$

- Dirichlet n'obtenait que

$$\sum_{p \equiv a \pmod{q}} \frac{1}{p^s} \underset{s \rightarrow 1^+}{\sim} \frac{1}{\varphi(q)} \log\left(\frac{1}{s-1}\right).$$

Théorème des nombres premiers en progression arithmétique

- C'est un résultat **d'équirépartition** : les $p \bmod q$ s'équirépartissent uniformément parmi les classes inversibles modulo q .

Théorème des nombres premiers en progression arithmétique

- C'est un résultat **d'équirépartition** : les $p \bmod q$ s'équirépartissent uniformément parmi les classes inversibles modulo q .
- En vertu du théorème des nombres premiers

$$\pi(x) := \#\{p \leq x\} \underset{x \rightarrow +\infty}{\sim} \frac{x}{\log x}$$

et donc

$$\frac{\pi(x, q, a)}{\pi(x)} \xrightarrow{x \rightarrow +\infty} \frac{1}{\varphi(q)}.$$

Théorème des nombres premiers en progression arithmétique

- C'est un résultat **d'équirépartition** : les $p \bmod q$ s'équirépartissent uniformément parmi les classes inversibles modulo q .
- En vertu du théorème des nombres premiers

$$\pi(x) := \#\{p \leq x\} \underset{x \rightarrow +\infty}{\sim} \frac{x}{\log x}$$

et donc

$$\frac{\pi(x, q, a)}{\pi(x)} \underset{x \rightarrow +\infty}{\longrightarrow} \frac{1}{\varphi(q)}.$$

- Un nombre premier a a une « probabilité » $\frac{1}{\varphi(q)}$ de valoir $a \bmod q$.

Théorème des nombres premiers en progression arithmétique

- La démonstration passe par l'étude des propriétés analytiques des fonctions L de Dirichlet (prolongement analytique et équation fonctionnelle) et l'étude de la disposition de leurs zéros dans le plan complexe.

Théorème des nombres premiers en progression arithmétique

- La démonstration passe par l'étude des propriétés analytiques des fonctions L de Dirichlet (prolongement analytique et équation fonctionnelle) et l'étude de la disposition de leurs zéros dans le plan complexe.
- Le point clé est que $L(1 + it, \chi) \neq 0$ pour $t \neq 0$.

Théorème des nombres premiers en progression arithmétique

- La démonstration passe par l'étude des propriétés analytiques des fonctions L de Dirichlet (prolongement analytique et équation fonctionnelle) et l'étude de la disposition de leurs zéros dans le plan complexe.
- Le point clé est que $L(1 + it, \chi) \neq 0$ pour $t \neq 0$. Estimation du reste \leftrightarrow région sans zéro à gauche de la droite $\{s \in \mathbb{C} \mid \Re(s) = 1\}$. Le reste le plus petit possible correspond à l'**hypothèse de Riemann**[®].

- 1 Progressions arithmétiques
- 2 **Courses de nombres premiers**
 - Le biais de Tchebychev
 - Résultats fondateurs
- 3 Courses dans les corps de nombres

Biais de Tchebychev

- D'après le TNPPA, on a, pour a et b inversibles modulo q ,
$$\pi(x, q, a) \underset{x \rightarrow +\infty}{\sim} \pi(x, q, b)$$

Biais de Tchebychev

- D'après le TNPPA, on a, pour a et b inversibles modulo q ,
 $\pi(x, q, a) \underset{x \rightarrow +\infty}{\sim} \pi(x, q, b)$, mais en pratique on peut observer une asymétrie.

Biais de Tchebychev

- D'après le TNPPA, on a, pour a et b inversibles modulo q ,
 $\pi(x, q, a) \underset{x \rightarrow +\infty}{\sim} \pi(x, q, b)$, mais en pratique on peut observer une asymétrie.
- En 1853, Tchebychev écrit dans une lettre à Fuss qu'il semble que

$$\pi(x, 4, 3) > \pi(x, 4, 1).$$

Biais de Tchebychev

- D'après le TNPPA, on a, pour a et b inversibles modulo q ,
 $\pi(x, q, a) \underset{x \rightarrow +\infty}{\sim} \pi(x, q, b)$, mais en pratique on peut observer une asymétrie.
- En 1853, Tchebychev écrit dans une lettre à Fuss qu'il semble que

$$\pi(x, 4, 3) > \pi(x, 4, 1).$$

- Il prétend même que

$$\sum_p (-1)^{\frac{p-1}{2}} e^{-px} \xrightarrow{x \rightarrow 0} -\infty.$$

Biais de Tchebychev

Problèmes :

- i) Tchebychev n'a pas regardé assez loin : $\pi(26861, 4, 1) > \pi(26861, 4, 3)$.

Biais de Tchebychev

Problèmes :

- i) Tchebychev n'a pas regardé assez loin : $\pi(26861, 4, 1) > \pi(26861, 4, 3)$.
- ii) Pire, $\pi(x, 4, 3) - \pi(x, 4, 1)$ change de signe une infinité de fois (Littlewood, 1914).

Biais de Tchebychev

Problèmes :

- i) Tchebychev n'a pas regardé assez loin : $\pi(26861, 4, 1) > \pi(26861, 4, 3)$.
- ii) Pire, $\pi(x, 4, 3) - \pi(x, 4, 1)$ change de signe une infinité de fois (Littlewood, 1914).
- iii) L'assertion sur la somme est équivalente à l'hypothèse de Riemann pour $L(s, \chi_4)$... (Hardy-Littlewood/Landau, 1914)

Biais de Tchebychev

- Ce phénomène (appelé **biais de Tchebychev**) semble tout de même présent

Biais de Tchebychev

- Ce phénomène (appelé **biais de Tchebychev**) semble tout de même présent : juste après 26861, la « course » entre l'équipe $1 \pmod 4$ vs $3 \pmod 4$ rebascule en la faveur des $p \equiv 3 \pmod 4$ pendant longtemps.

Biais de Tchebychev

- Ce phénomène (appelé **biais de Tchebychev**) semble tout de même présent : juste après 26861, la « course » entre l'équipe $1 \pmod{4}$ vs $3 \pmod{4}$ rebascule en la faveur des $p \equiv 3 \pmod{4}$ pendant longtemps.

Comment quantifier ce biais ?

Quantifier le biais

- On est amené à « mesurer » l'ensemble

$$\mathcal{P}_{q;a,b} := \{x \geq 2 \mid \pi(x, q, a) > \pi(x, q, b)\}.$$

Quantifier le biais

- On est amené à « mesurer » l'ensemble

$$\mathcal{P}_{q;a,b} := \{x \geq 2 \mid \pi(x, q, a) > \pi(x, q, b)\}.$$

- Comme cet ensemble n'est pas borné (Littlewood), une notion naturelle de taille de cet ensemble serait sa **densité naturelle**

$$\lim_{x \rightarrow +\infty} \frac{|\mathcal{P}_{q;a,b} \cap [0, x]|}{x}.$$

Quantifier le biais

- On est amené à « mesurer » l'ensemble

$$\mathcal{P}_{q;a,b} := \{x \geq 2 \mid \pi(x, q, a) > \pi(x, q, b)\}.$$

- Comme cet ensemble n'est pas borné (Littlewood), une notion naturelle de taille de cet ensemble serait sa **densité naturelle**

$$\lim_{x \rightarrow +\infty} \frac{|\mathcal{P}_{q;a,b} \cap [0, x]|}{x}.$$

- Malheureusement, cette limite n'existe pas en général (Kaczorowski, 1995).

Quantifier le biais

Définition.

La densité logarithmique d'un borélien A de \mathbb{R}^+ est, quand elle existe,

$$\delta(A) = \lim_{x \rightarrow +\infty} \frac{1}{\log x} \int_2^x \mathbb{1}_A(t) \frac{dt}{t} = \lim_{Y \rightarrow +\infty} \frac{1}{Y} \int_2^Y \mathbb{1}_A(e^t) dt.$$

Quantifier le biais

Définition.

La densité logarithmique d'un borélien A de \mathbb{R}^+ est, quand elle existe,

$$\delta(A) = \lim_{x \rightarrow +\infty} \frac{1}{\log x} \int_2^x \mathbb{1}_A(t) \frac{dt}{t} = \lim_{Y \rightarrow +\infty} \frac{1}{Y} \int_2^Y \mathbb{1}_A(e^t) dt.$$

- C'est la bonne notion de taille dans ce contexte.

Quelques résultats

Théorème (Rubinstein, Sarnak, 1994).

Supposons l'hypothèse de Riemann pour toutes les fonctions L de Dirichlet modulo q , et que les parties imaginaires des zéros non triviaux de ces fonctions sont linéairement indépendants sur \mathbb{Q} . Alors $\delta(\mathcal{P}_{q;a,b})$ existe et satisfait $0 < \delta(\mathcal{P}_{q;a,b}) < 1$.

Quelques résultats

Théorème (Rubinstein, Sarnak, 1994).

Supposons l'hypothèse de Riemann pour toutes les fonctions L de Dirichlet modulo q , et que les parties imaginaires des zéros non triviaux de ces fonctions sont linéairement indépendants sur \mathbb{Q} . Alors $\delta(\mathcal{P}_{q;a,b})$ existe et satisfait $0 < \delta(\mathcal{P}_{q;a,b}) < 1$.

- Dans toute « course de nombres premiers », il y a une infinité de changements de « leader » et les deux positions se produisent une proportion strictement positive du temps !

Idées de preuve

- On commence par exprimer $\pi(x, q, a)$ et $\pi(x, q, b)$ en fonction des zéros des fonctions L de Dirichlet modulo q (**formules explicites**).

Idées de preuve

- On commence par exprimer $\pi(x, q, a)$ et $\pi(x, q, b)$ en fonction des zéros des fonctions L de Dirichlet modulo q (**formules explicites**).
- Sous l'hypothèse de Riemann, on a

$\pi(x, q, c)$ = terme principal ne dépendant pas de c + erreur en \sqrt{x} ,

il est donc naturel de regarder le signe de

$$\frac{\pi(x, q, a) - \pi(x, q, b)}{\sqrt{x}}.$$

Idées de preuve

- On trouve

$$\frac{\pi(x, q, a) - \pi(x, q, b)}{\sqrt{x}/\log x} = \overbrace{|\sqrt{\{b\}}| - |\sqrt{\{a\}}|}^{:=c(q,a,b)} + \sum_{\chi} \overline{\chi(b) - \chi(a)} \sum_{\gamma_{\chi}} \frac{x^{i\gamma_{\chi}}}{\frac{1}{2} + i\gamma_{\chi}} + O\left(\frac{1}{\log x}\right),$$

où la somme porte sur les parties imaginaires des zéros non triviaux des $L(s, \chi)$ (rappel : sous GRH les zéros sont de la forme $\frac{1}{2} + i\gamma_{\chi}$).

Idées de preuve

- Cela se réécrit

$$\frac{\pi(e^t, q, a) - \pi(e^t, q, b)}{e^{t/2}} t = c(q, a, b) + \sum_{\chi} \overline{\chi(b) - \chi(a)} \sum_{\gamma_{\chi}} \frac{e^{i\gamma_{\chi} t}}{\frac{1}{2} + i\gamma_{\chi}} + o\left(\frac{1}{t}\right),$$

Idées de preuve

- Cela se réécrit

$$\frac{\pi(e^t, q, a) - \pi(e^t, q, b)}{e^{t/2}} t = c(q, a, b) + \sum_{\chi} \overline{\chi(b) - \chi(a)} \sum_{\gamma_{\chi}} \frac{e^{i\gamma_{\chi} t}}{\frac{1}{2} + i\gamma_{\chi}} + o\left(\frac{1}{t}\right),$$

- On applique alors le théorème d'équirépartition de Kronecker-Weyl : l'hypothèse d'indépendance linéaire permet de traiter les $e^{i\gamma_{\chi} t}$ comme des variables aléatoires uniformes **indépendantes** sur le cercle unité.

Idées de preuve

- Cela permet de montrer l'existence d'une variable aléatoire X , d'espérance $c(q, a, b)$, telle que

$$\delta(\mathcal{P}_{q;a,b}) = \mathbb{P}(X > 0).$$

Idées de preuve

- Cela permet de montrer l'existence d'une variable aléatoire X , d'espérance $c(q, a, b)$, telle que

$$\delta(\mathcal{P}_{q;a,b}) = \mathbb{P}(X > 0).$$

- Il reste à étudier cette variable aléatoire à l'aide de sa fonction caractéristique :

$$\varphi : \xi \mapsto e^{ic(q,a,b)\xi} \prod_{\chi \neq \chi_0} \prod_{\gamma_\chi > 0} J_0 \left(\frac{2|\chi(a) - \chi(b)|}{\sqrt{\frac{1}{4} + \gamma_\chi^2}} \xi \right),$$

où

$$J_0 : z \mapsto \sum_{n=0}^{+\infty} \frac{(-1)^n (z/2)^{2n}}{(n!)^2}$$

est la fonction de Bessel de première espèce d'indice 0. □

Calculs numériques

- Rubinstein et Sarnak calculent

$$\delta(\mathcal{P}_{4;3,1}) \approx 0.9959\dots$$

Calculs numériques

- Rubinstein et Sarnak calculent

$$\delta(\mathcal{P}_{4;3,1}) \approx 0.9959\dots$$

- Le biais de Tchebychev est quantifié : « 99,59% du temps », les premiers $p \equiv 3 \pmod{4}$ sont plus nombreux que les premiers $p \equiv 1 \pmod{4}$.

Calculs numériques

- Rubinstein et Sarnak calculent

$$\delta(\mathcal{P}_{4;3,1}) \approx 0.9959\dots$$

- Le biais de Tchebychev est quantifié : « 99,59% du temps », les premiers $p \equiv 3 \pmod{4}$ sont plus nombreux que les premiers $p \equiv 1 \pmod{4}$.
- Ils calculent également

$$\delta(\mathcal{P}_{3;2,1}) \approx 0.9990\dots$$

Calculs numériques

- Rubinstein et Sarnak calculent

$$\delta(\mathcal{P}_{4;3,1}) \approx 0.9959\dots$$

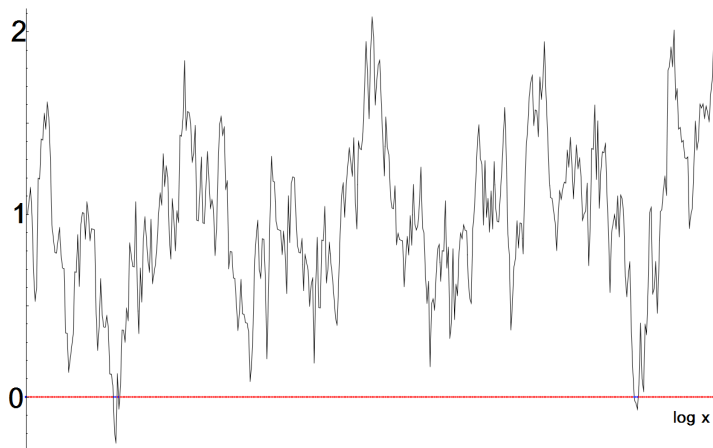
- Le biais de Tchebychev est quantifié : « 99,59% du temps », les premiers $p \equiv 3 \pmod{4}$ sont plus nombreux que les premiers $p \equiv 1 \pmod{4}$.
- Ils calculent également

$$\delta(\mathcal{P}_{3;2,1}) \approx 0.9990\dots$$

ce qui était à prévoir car le plus petit élément de $\mathcal{P}_{3;1,2}$ est

608981813029(!)

Calculs numériques



$$\frac{\pi(x,4,3) - \pi(x,4,1)}{\sqrt{x}/\log x}, \quad 10^4 \leq x \leq 10^8$$

Source : Daniel Fiorilli

Théorème (Rubinstein, Sarnak, 1994).

Sous les mêmes hypothèses que précédemment, et si a et b sont simultanément des carrés ou non mod q , alors

$$\delta(\mathcal{P}_{q;a,b}) = \frac{1}{2}.$$

Si a est un carré mod q et b n'est pas un carré mod q alors

$$\delta(\mathcal{P}_{q;a,b}) < \frac{1}{2}.$$

Théorème (Rubinstein, Sarnak, 1994).

Sous les mêmes hypothèses que précédemment, et si a et b sont simultanément des carrés ou non mod q , alors

$$\delta(\mathcal{P}_{q;a,b}) = \frac{1}{2}.$$

Si a est un carré mod q et b n'est pas un carré mod q alors

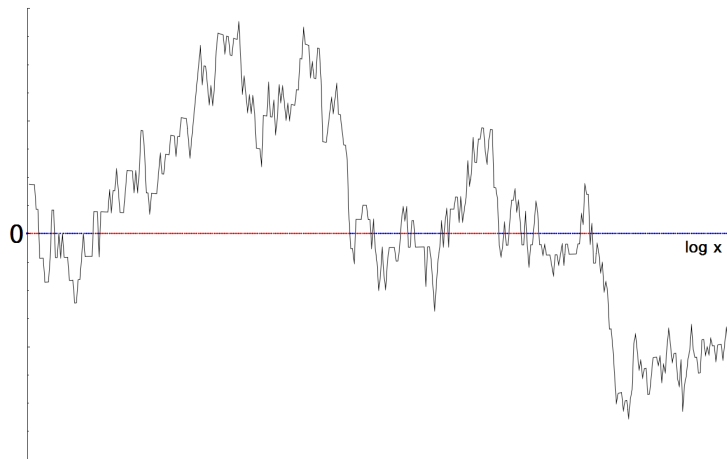
$$\delta(\mathcal{P}_{q;a,b}) < \frac{1}{2}.$$

Théorème (« central limite » pour les courses).

On a

$$\max_{\substack{a,b \\ (q,ab)=1}} \left| \delta(\mathcal{P}_{q;a,b}) - \frac{1}{2} \right| \xrightarrow{q \rightarrow +\infty} 0.$$

Atténuation du biais



$$\frac{\pi(x, 101, 3) - \pi(x, 101, 1)}{\sqrt{x}/\log x}, \quad 10^4 \leq x \leq 10^8$$

Source : Daniel Fiorilli

1 Progressions arithmétiques

2 Cours de nombres premiers

3 Cours dans les corps de nombres

- Préliminaires sur les corps de nombres
- Automorphismes de Frobenius et fonctions L d'Artin
- Cours dans les corps de nombres

Corps de nombres

Définition.

Un corps de nombres est un corps K de degré fini sur \mathbb{Q} . L'anneau des entiers de K est l'ensemble \mathcal{O}_K des entiers algébriques dans K .

Corps de nombres

Définition.

Un corps de nombres est un corps K de degré fini sur \mathbb{Q} . L'anneau des entiers de K est l'ensemble \mathcal{O}_K des entiers algébriques dans K .

- Un nombre algébrique est racine d'un polynôme à coefficients entiers.

Corps de nombres

Définition.

Un corps de nombres est un corps K de degré fini sur \mathbb{Q} . L'anneau des entiers de K est l'ensemble \mathcal{O}_K des entiers algébriques dans K .

- Un nombre algébrique est racine d'un polynôme à coefficients entiers. Un entier algébrique est racine d'un polynôme **unitaire** à coefficients entiers.

Corps de nombres

Définition.

Un corps de nombres est un corps K de degré fini sur \mathbb{Q} . L'anneau des entiers de K est l'ensemble \mathcal{O}_K des entiers algébriques dans K .

- Un nombre algébrique est racine d'un polynôme à coefficients entiers. Un entier algébrique est racine d'un polynôme **unitaire** à coefficients entiers.

$$K \leftrightarrow \mathbb{Q}$$

$$\mathcal{O}_K \leftrightarrow \mathbb{Z}$$

Arithmétique dans les corps de nombres

- L'anneau \mathcal{O}_K n'est pas factoriel en général, par exemple dans

$$\mathcal{O}_{\mathbb{Q}(i\sqrt{5})} = \mathbb{Z}[i\sqrt{5}]$$

on a

$$6 = 2 \times 3 = (1 + i\sqrt{5})(1 - i\sqrt{5})$$

avec $2, 3, 1 + i\sqrt{5}$ et $1 - i\sqrt{5}$ irréductibles non associés.

Arithmétique dans les corps de nombres

Théorème (Dedekind, 1876).

Tout idéal \mathcal{I} de \mathcal{O}_K admet une factorisation (unique à l'ordre près des facteurs) sous la forme

$$\mathcal{I} = \mathfrak{p}_1^{e_1} \cdots \mathfrak{p}_g^{e_g}$$

où les \mathfrak{p}_i sont des idéaux premiers de \mathcal{O}_K .

Arithmétique dans les corps de nombres

Théorème (Dedekind, 1876).

Tout idéal \mathcal{I} de \mathcal{O}_K admet une factorisation (unique à l'ordre près des facteurs) sous la forme

$$\mathcal{I} = \mathfrak{p}_1^{e_1} \cdots \mathfrak{p}_g^{e_g}$$

où les \mathfrak{p}_i sont des idéaux premiers de \mathcal{O}_K .

- Par exemple, dans $\mathbb{Z}[i\sqrt{5}]$, on a $(6) = (2, 1 + i\sqrt{5})^2(3, 1 + i\sqrt{5})(3, 1 - i\sqrt{5})$.

Arithmétique dans les corps de nombres

Théorème (Dedekind, 1876).

Tout idéal \mathcal{I} de \mathcal{O}_K admet une factorisation (unique à l'ordre près des facteurs) sous la forme

$$\mathcal{I} = \mathfrak{p}_1^{e_1} \cdots \mathfrak{p}_g^{e_g}$$

où les \mathfrak{p}_i sont des idéaux premiers de \mathcal{O}_K .

- Par exemple, dans $\mathbb{Z}[i\sqrt{5}]$, on a $(6) = (2, 1 + i\sqrt{5})^2(3, 1 + i\sqrt{5})(3, 1 - i\sqrt{5})$.
- Si p est un nombre premier, l'idéal $p\mathcal{O}_K$ admet donc une factorisation

$$(p) = \prod_{i=1}^g \mathfrak{p}_i^{e_i}.$$

Automorphismes de Frobenius

- Soit p un nombre premier et \mathfrak{p} un idéal premier de K au-dessus de p . Alors on dispose d'une extension de corps finis

$$(\mathcal{O}_K/\mathfrak{p})/(\mathbb{Z}/p\mathbb{Z}).$$

Automorphismes de Frobenius

- Soit p un nombre premier et \mathfrak{p} un idéal premier de K au-dessus de p . Alors on dispose d'une extension de corps finis

$$(\mathcal{O}_K/\mathfrak{p})/(\mathbb{Z}/p\mathbb{Z}).$$

- Cette extension est galoisienne, et un générateur du groupe de Galois est l'automorphisme de Frobenius

$$\begin{aligned}\mathcal{O}_K/\mathfrak{p} &\rightarrow \mathcal{O}_K/\mathfrak{p} \\ x &\mapsto x^p.\end{aligned}$$

Si K/\mathbb{Q} est galoisienne, le Frobenius se remonte dans $\text{Gal}(K/\mathbb{Q})$.

Automorphismes de Frobenius

- Pour les algébristes : on a une suite exacte

$$0 \longrightarrow I_{\mathfrak{p}} \longrightarrow D_{\mathfrak{p}} \longrightarrow \text{Gal}((\mathcal{O}_K/\mathfrak{p})/\mathbb{F}_{\mathfrak{p}}) \longrightarrow 0$$

où $D_{\mathfrak{p}} = \{\sigma \in \text{Gal}(K/\mathbb{Q}) \mid \sigma(\mathfrak{p}) = \mathfrak{p}\}$ et

$I_{\mathfrak{p}} = \{\sigma \in \text{Gal}(K/\mathbb{Q}) \mid \forall x \in \mathcal{O}_K, \sigma(x) \equiv x \pmod{\mathfrak{p}}\}.$

Automorphismes de Frobenius

- Pour les algébristes : on a une suite exacte

$$0 \longrightarrow I_p \longrightarrow D_p \longrightarrow \text{Gal}((\mathcal{O}_K/\mathfrak{p})/\mathbb{F}_p) \longrightarrow 0$$

où $D_p = \{\sigma \in \text{Gal}(K/\mathbb{Q}) \mid \sigma(\mathfrak{p}) = \mathfrak{p}\}$ et

$I_p = \{\sigma \in \text{Gal}(K/\mathbb{Q}) \mid \forall x \in \mathcal{O}_K, \sigma(x) \equiv x \pmod{\mathfrak{p}}\}$.

- Autrement dit, quand I_p est trivial (ce qui arrive pour tous les p sauf un nombre fini), on a un $\text{Frob}_p \in \text{Gal}(K/\mathbb{Q})$ déterminé par

$$\forall x \in \mathcal{O}_K, \text{Frob}_p(x) \equiv x^p \pmod{\mathfrak{p}}.$$

Automorphismes de Frobenius

- Par contre, Frob_p dépend de p , mais seulement à conjugaison près. On a donc une classe de conjugaison dans $\text{Gal}(K/\mathbb{Q})$, notée Frob_p , appelée (classe d') automorphisme de Frobenius de p dans $\text{Gal}(K/\mathbb{Q})$.

Automorphismes de Frobenius

- Par contre, Frob_p dépend de p , mais seulement à conjugaison près. On a donc une classe de conjugaison dans $\text{Gal}(K/\mathbb{Q})$, notée Frob_p , appelée (classe d') automorphisme de Frobenius de p dans $\text{Gal}(K/\mathbb{Q})$.

Théorème (Chebotarev, 1928).

Soit C une classe de conjugaison de $G := \text{Gal}(K/\mathbb{Q})$. Alors

$$\pi(x, K/\mathbb{Q}, C) := \#\{p \leq x \mid \text{Frob}_p = C\} \underset{x \rightarrow +\infty}{\sim} \frac{|C|}{|G|} \frac{x}{\log x}.$$

Retour aux sources

- Soit $q \geq 1$. On considère $K = \mathbb{Q}(\zeta_q)$, où ζ_q est une racine primitive q -ième de l'unité. On a alors un isomorphisme

$$\begin{aligned} (\mathbb{Z}/q\mathbb{Z})^\times &\longrightarrow \text{Gal}(\mathbb{Q}(\zeta_q)/\mathbb{Q}) \\ a &\longmapsto (\zeta_q \mapsto \zeta_q^a). \end{aligned}$$

Retour aux sources

- Soit $q \geq 1$. On considère $K = \mathbb{Q}(\zeta_q)$, où ζ_q est une racine primitive q -ième de l'unité. On a alors un isomorphisme

$$\begin{aligned} (\mathbb{Z}/q\mathbb{Z})^\times &\longrightarrow \text{Gal}(\mathbb{Q}(\zeta_q)/\mathbb{Q}) \\ a &\longmapsto (\zeta_q \mapsto \zeta_q^a). \end{aligned}$$

- Pour $a \in \mathbb{Z}$ premier avec q et $p \equiv a \pmod{q}$, on vérifie facilement que

$$\text{Frob}_p : \zeta_q \mapsto \zeta_q^p = \zeta_q^a.$$

Retour aux sources

- Soit $q \geq 1$. On considère $K = \mathbb{Q}(\zeta_q)$, où ζ_q est une racine primitive q -ième de l'unité. On a alors un isomorphisme

$$\begin{aligned} (\mathbb{Z}/q\mathbb{Z})^\times &\longrightarrow \text{Gal}(\mathbb{Q}(\zeta_q)/\mathbb{Q}) \\ a &\longmapsto (\zeta_q \mapsto \zeta_q^a). \end{aligned}$$

- Pour $a \in \mathbb{Z}$ premier avec q et $p \equiv a \pmod{q}$, on vérifie facilement que

$$\text{Frob}_p : \zeta_q \mapsto \zeta_q^p = \zeta_q^a.$$

Le théorème de Chebotarev donne alors que

$$\#\{p \leq x \mid p \equiv a \pmod{q}\} \underset{x \rightarrow +\infty}{\sim} \frac{1}{\varphi(q)} \frac{x}{\log x}.$$

Une autre application arithmétique

- Soit $d \in \mathbb{Z} \setminus \{0, 1\}$ sans facteur carré. On considère $K = \mathbb{Q}(\sqrt{d})$. Alors $\text{Gal}(\mathbb{Q}(\sqrt{d})/\mathbb{Q})$ est d'ordre 2, et on note σ son élément non trivial, $\sigma : \sqrt{d} \mapsto -\sqrt{d}$.

Une autre application arithmétique

- Soit $d \in \mathbb{Z} \setminus \{0, 1\}$ sans facteur carré. On considère $K = \mathbb{Q}(\sqrt{d})$. Alors $\text{Gal}(\mathbb{Q}(\sqrt{d})/\mathbb{Q})$ est d'ordre 2, et on note σ son élément non trivial, $\sigma : \sqrt{d} \mapsto -\sqrt{d}$.
- On montre que pour p premier ne divisant pas $2d$,
$$\text{Frob}_p = \sigma \Leftrightarrow d \text{ n'est pas un carré modulo } p.$$

Une autre application arithmétique

- Soit $d \in \mathbb{Z} \setminus \{0, 1\}$ sans facteur carré. On considère $K = \mathbb{Q}(\sqrt{d})$. Alors $\text{Gal}(\mathbb{Q}(\sqrt{d})/\mathbb{Q})$ est d'ordre 2, et on note σ son élément non trivial, $\sigma : \sqrt{d} \mapsto -\sqrt{d}$.
- On montre que pour p premier ne divisant pas $2d$,

$$\text{Frob}_p = \sigma \Leftrightarrow d \text{ n'est pas un carré modulo } p.$$

- Le théorème de Chebotarev donne donc

$$\#\{p \leq x \mid d \text{ n'est pas carré mod } p\} \underset{x \rightarrow +\infty}{\sim} \#\{p \leq x \mid d \text{ est carré mod } p\}$$

$$\underset{x \rightarrow +\infty}{\sim} \frac{1}{2} \frac{x}{\log x}.$$

Fonctions L d'Artin

- À un caractère d'une représentation linéaire ρ de $\text{Gal}(K/\mathbb{Q})$, on associe une fonction L (d'Artin), donnée par un produit eulérien, dont un facteur typique est

$$\left(\det \left(id - \frac{\rho(\text{Frob}_p)}{p^s} \right) \right)^{-1},$$

qui va jouer un rôle analogues aux fonctions L de Dirichlet dans le cadre des progressions arithmétiques.

Fonctions L d'Artin

- À un caractère d'une représentation linéaire ρ de $\text{Gal}(K/\mathbb{Q})$, on associe une fonction L (d'Artin), donnée par un produit eulérien, dont un facteur typique est

$$\left(\det \left(id - \frac{\rho(\text{Frob}_p)}{p^s} \right) \right)^{-1},$$

qui va jouer un rôle analogues aux fonctions L de Dirichlet dans le cadre des progressions arithmétiques.

- Le théorème de Chebotarev provient de l'étude des propriétés analytiques de ces fonctions, et de la répartition de leurs zéros.

Cours dans les corps de nombres

- On fixe deux classes de conjugaison C_1 et C_2 de $\text{Gal}(K/\mathbb{Q})$, et on veut étudier la course entre les nombres premiers p tels que $\text{Frob}_p = C_1$ et ceux tels que $\text{Frob}_p = C_2$.

Cours dans les corps de nombres

- On fixe deux classes de conjugaison C_1 et C_2 de $\text{Gal}(K/\mathbb{Q})$, et on veut étudier la course entre les nombres premiers p tels que $\text{Frob}_p = C_1$ et ceux tels que $\text{Frob}_p = C_2$.
- Pour équilibrer la course, on regarde le signe de

$$\frac{\pi(x, K/\mathbb{Q}, C_1)}{|C_1|} - \frac{\pi(x, K/\mathbb{Q}, C_2)}{|C_2|}.$$

Cours dans les corps de nombres

- On fixe deux classes de conjugaison C_1 et C_2 de $\text{Gal}(K/\mathbb{Q})$, et on veut étudier la course entre les nombres premiers p tels que $\text{Frob}_p = C_1$ et ceux tels que $\text{Frob}_p = C_2$.
- Pour équilibrer la course, on regarde le signe de

$$\frac{\pi(x, K/\mathbb{Q}, C_1)}{|C_1|} - \frac{\pi(x, K/\mathbb{Q}, C_2)}{|C_2|}.$$

On pose

$$\mathcal{P}_{K/\mathbb{Q}; C_1, C_2} = \left\{ x \geq 2 \mid \frac{\pi(x, K/\mathbb{Q}, C_1)}{|C_1|} > \frac{\pi(x, K/\mathbb{Q}, C_2)}{|C_2|} \right\}.$$

Cours dans les corps de nombres

Théorème (Ng, 2000).

« Tout se passe comme pour les courses de nombres premiers, en remplaçant les fonctions L de Dirichlet par les fonctions L d'Artin. »

En supposant l'hypothèse de Riemann, la conjecture d'Artin et l'indépendance linéaire des parties imaginaires des zéros non triviaux des fonctions L d'Artin associées aux caractères irréductibles de K/\mathbb{Q} , $\delta(\mathcal{P}_{K/\mathbb{Q};C_1,C_2})$ existe et satisfait $0 < \delta(\mathcal{P}_{K/\mathbb{Q};C_1,C_2}) < 1$.

Cours dans les corps de nombres

Théorème (Ng, 2000).

« Tout se passe comme pour les courses de nombres premiers, en remplaçant les fonctions L de Dirichlet par les fonctions L d'Artin. »

En supposant l'hypothèse de Riemann, la conjecture d'Artin et l'indépendance linéaire des parties imaginaires des zéros non triviaux des fonctions L d'Artin associées aux caractères irréductibles de K/\mathbb{Q} , $\delta(\mathcal{P}_{K/\mathbb{Q}; C_1, C_2})$ existe et satisfait $0 < \delta(\mathcal{P}_{K/\mathbb{Q}; C_1, C_2}) < 1$.

- Une différence par rapport aux progressions arithmétiques : les fonctions L d'Artin peuvent admettre un zéro en $\frac{1}{2}$, ce qui peut avoir une influence sur la répartition des

$$\frac{\pi(x, K/\mathbb{Q}, C_1)}{|C_1|} - \frac{\pi(x, K/\mathbb{Q}, C_2)}{|C_2|}.$$

Root numbers

- Comment produire des zéros en $1/2$?

Root numbers

- Comment produire des zéros en $1/2$? Les fonctions L d'Artin vérifient une équation fonctionnelle de la forme $\Lambda(s, \chi) = W(\chi) \Lambda(1-s, \bar{\chi})$ avec $|W(\chi)| = 1$.

Root numbers

- Comment produire des zéros en $1/2$? Les fonctions L d'Artin vérifient une équation fonctionnelle de la forme $\Lambda(s, \chi) = W(\chi)\Lambda(1-s, \bar{\chi})$ avec $|W(\chi)| = 1$.
- Si χ prend des valeurs réelles, $W(\chi) = \pm 1$. En particulier, si $W(\chi) = -1$ alors $\Lambda(1/2, \chi) = 0$ (et donc $L(1/2, \chi) = 0$).

Root numbers

- Comment produire des zéros en $1/2$? Les fonctions L d'Artin vérifient une équation fonctionnelle de la forme $\Lambda(s, \chi) = W(\chi)\Lambda(1-s, \bar{\chi})$ avec $|W(\chi)| = 1$.
- Si χ prend des valeurs réelles, $W(\chi) = \pm 1$. En particulier, si $W(\chi) = -1$ alors $\Lambda(1/2, \chi) = 0$ (et donc $L(1/2, \chi) = 0$).
- Parmi les caractères réels, seuls les **symplectiques** peuvent fournir un root number $W(\chi) = -1$.

Groupes de quaternions

- Le groupe \mathbb{H}_8 est $\{\pm 1, \pm i, \pm j, \pm k\}$ avec -1 central et

$$i^2 = j^2 = k^2 = ijk = -1.$$

Groupes de quaternions

- Le groupe \mathbb{H}_8 est $\{\pm 1, \pm i, \pm j, \pm k\}$ avec -1 central et

$$i^2 = j^2 = k^2 = ijk = -1.$$

- Plus généralement, le groupe de quaternions généralisés d'ordre 2^n , $n \geq 3$ est

$$\mathbb{H}_{2^n} = \langle x, y \mid x^{2^{n-2}} = y^2, x^{2^{n-1}} = 1, yxy^{-1} = x^{-1} \rangle.$$

Groupes de quaternions

- Le groupe \mathbb{H}_8 est $\{\pm 1, \pm i, \pm j, \pm k\}$ avec -1 central et

$$i^2 = j^2 = k^2 = ijk = -1.$$

- Plus généralement, le groupe de quaternions généralisés d'ordre 2^n , $n \geq 3$ est

$$\mathbb{H}_{2^n} = \langle x, y \mid x^{2^{n-2}} = y^2, x^{2^{n-1}} = 1, yxy^{-1} = x^{-1} \rangle.$$

- Pourquoi s'intéresser à ces groupes ? Leurs tables de caractères sont les mêmes que celles des groupes diédraux $D_{2^{n-1}}$ (d'ordre 2^n),

Groupes de quaternions

- Le groupe \mathbb{H}_8 est $\{\pm 1, \pm i, \pm j, \pm k\}$ avec -1 central et

$$i^2 = j^2 = k^2 = ijk = -1.$$

- Plus généralement, le groupe de quaternions généralisés d'ordre 2^n , $n \geq 3$ est

$$\mathbb{H}_{2^n} = \langle x, y \mid x^{2^{n-2}} = y^2, x^{2^{n-1}} = 1, yxy^{-1} = x^{-1} \rangle.$$

- Pourquoi s'intéresser à ces groupes ? Leurs tables de caractères sont les mêmes que celles des groupes diédraux $D_{2^{n-1}}$ (d'ordre 2^n), mais surtout ils ont beaucoup de caractères irréductibles symplectiques : 2^{n-3} .

Théorème

Théorème (B., aspect horizontal).

Sous les hypothèses précédentes, il existe deux familles $(K_d)_d$ et $(L_d)_d$ d'extensions galoisiennes de \mathbb{Q} contenant $\mathbb{Q}(\sqrt{d})$ et telles que :

- i) Pour tout $d \equiv 1 \pmod{4}$ sans facteur carré,

$$\text{Gal}(K_d/\mathbb{Q}) \simeq \text{Gal}(L_d/\mathbb{Q}) \simeq \mathbb{H}_8.$$

- ii)

$$0 < \frac{1}{2} - \delta(\mathcal{P}_{K_d/\mathbb{Q};1,-1}) \ll \frac{1}{(\log d)^{1/3}}.$$

- iii)

$$0 < \delta(\mathcal{P}_{L_d/\mathbb{Q};1,-1}) - \frac{1}{2} \ll \frac{1}{(\log d)^{1/3}}.$$

Idées de démonstration

- Trouver deux familles d'extensions de \mathbb{Q} de groupe de Galois \mathbb{H}_8 telles que $L\left(\frac{1}{2}, \psi, K/\mathbb{Q}\right) = 0$ et $L\left(\frac{1}{2}, \psi, L\right) = 0$. (Fröhlich, 70's)

Idées de démonstration

- Trouver deux familles d'extensions de \mathbb{Q} de groupe de Galois H_8 telles que $L\left(\frac{1}{2}, \psi, K/\mathbb{Q}\right) = 0$ et $L\left(\frac{1}{2}, \psi, L\right) = 0$. (Fröhlich, 70's)
- Pour estimer le biais, on utilise qu'il peut s'écrire sous la forme $\mathbb{P}(X > 0)$, où X est "connue".

Idées de démonstration

- Trouver deux familles d'extensions de \mathbb{Q} de groupe de Galois \mathbb{H}_8 telles que $L\left(\frac{1}{2}, \psi, K/\mathbb{Q}\right) = 0$ et $L\left(\frac{1}{2}, \psi, L\right) = 0$. (Fröhlich, 70's)
- Pour estimer le biais, on utilise qu'il peut s'écrire sous la forme $\mathbb{P}(X > 0)$, où X est "connue".
- On met en évidence un comportement de type "théorème central limite" grâce au comportement de la quantité

$$\frac{\mathbb{E}(X)}{\text{Var}(X)^{1/2}}.$$

Théorème

Théorème (B., aspect vertical).

Sous les hypothèses précédentes, il existe deux familles $(Q_n^+)_{n \geq 3}$ et $(Q_n^-)_{n \geq 3}$ d'extensions galoisiennes de \mathbb{Q} telles que :

i) Pour tout $n \geq 3$,

$$\text{Gal}(Q_n^\pm/\mathbb{Q}) \simeq \mathbb{H}_{2^n}.$$

ii)

$$c_1 \exp\left(-c_2 \frac{2^n}{n}\right) < 1 - \delta(\mathcal{P}_{Q_n^+/\mathbb{Q}; 1, -1}) < \exp\left(-c_3 \frac{2^n}{n}\right).$$

iii)

$$c_1 \exp\left(-c_2 \frac{2^n}{n}\right) < \delta(\mathcal{P}_{Q_n^-/\mathbb{Q}; 1, -1}) < \exp\left(-c_3 \frac{2^n}{n}\right).$$

Théorème

Théorème (B., aspect vertical).

Sous les hypothèses précédentes, il existe deux familles $(Q_n^+)_{n \geq 3}$ et $(Q_n^-)_{n \geq 3}$ d'extensions galoisiennes de \mathbb{Q} telles que :

i) Pour tout $n \geq 3$,

$$\text{Gal}(Q_n^\pm/\mathbb{Q}) \simeq \mathbb{H}_{2^n}.$$

ii)

$$c_1 \exp\left(-c_2 \frac{2^n}{n}\right) < 1 - \delta(\mathcal{P}_{Q_n^+/\mathbb{Q}; 1, -1}) < \exp\left(-c_3 \frac{2^n}{n}\right).$$

iii)

$$c_1 \exp\left(-c_2 \frac{2^n}{n}\right) < \delta(\mathcal{P}_{Q_n^-/\mathbb{Q}; 1, -1}) < \exp\left(-c_3 \frac{2^n}{n}\right).$$

- Démonstration : Proche du théorème précédent, mais la construction est beaucoup plus compliquée (théorie de Fröhlich de "Galois-module", contrôle du discriminant avec GRH). On exhibe un comportement de type « grandes déviations ».

Pour conclure : quelques pistes

- i) Affaiblir les hypothèses d'indépendance linéaire sur les parties imaginaires des zéros.

Pour conclure : quelques pistes

- i) Affaiblir les hypothèses d'indépendance linéaire sur les parties imaginaires des zéros.
- ii) Étudier l'évolution du biais de Tchebychev dans des extensions de corps de fonctions de courbes sur des corps finis.

Merci de votre attention !